

# 11. Spin und Kopplung von Drehimpulsen

## Feinstruktur und Hyperfeinstruktur

### Spin

Motivation: bisher QM Teilchen hat 3 Freiheitsgrade  $(x, y, z) = \vec{r}$

$$\Rightarrow \text{magnetisches Moment} \leftrightarrow \hat{\mu} \sim \hat{L} = \vec{r} \times \hat{p}$$

mit  $l=0, 1, 2, \dots$  mit  $(2l+1)$  magnetischen  
Umlaufzustände  
 $= 1, 3, 5, \dots$  ungerade Zahl

Stern-Gerlach Experiment: Aufspaltung eines wasserstoffähnlichen  
Silberatomstrahl in inhomogenen Magnetfeld  
in erwartet wurden  $(2l+1)$  Teilstrahlen

Experiment: 2! Teilstrahlen

"  
 $2l+1 \rightarrow$  Drehimpuls  $= \frac{1}{2}$   
kann kein Bahndrehimpuls sein!

Goudsmit + Uhlenbeck:

Elektronen besitzen inneren Drehimpuls oder Eigendrehimpuls  
 $= \text{Spin}$   $S = \frac{1}{2}$ ,  $m_s = \pm \frac{1}{2}$   $2S+1 = 2$

Spinoperator  $\hat{S}$  gehorcht Drehimpuls algebra (aber lässt sich nicht  
mit  $\vec{r} \times \hat{p} \dots$  darstellen)

$$[\hat{S}_i, \hat{S}_j] = i\hbar \epsilon_{ijk} \hat{S}_k \quad \rightarrow \quad |S, m_s\rangle$$

siehe Kapitel 8

$$S = 0, \frac{1}{2}, 1, \frac{3}{2}, 2, \dots$$

$$m_s = -S, -S+1, \dots, S-1, S$$

2S+1

2 Arten von Elementarteilchen:

Fermionen  $\rightarrow$  halbzahligem Spin, z.B.  $e^{\pm}$ , Muon, Quarks, ...

Bosonen  $\rightarrow$  ganzzahligem Spin, z.B. Photon  $\gamma$ , ...  
 $S=1$

$\hookrightarrow$  QM Teilchen haben 3 Freiheitsgrade + Spin und Eigenschaften  $m, Q, \vec{P}, m_s, S, \text{Flavor, Ladung}$

Hilbertraum eines  $S = \frac{1}{2}$  Teilchen (Spinraum):  $\mathcal{H}_S$   
 ist 2S+1 dimensional

wird aufgepannt durch  $|S = \frac{1}{2}, m_s = +\frac{1}{2}\rangle = |\uparrow\rangle$

$|S = \frac{1}{2}, m_s = -\frac{1}{2}\rangle = |\downarrow\rangle$

Darstellung als 2-dim. Vektor  $\chi_{\uparrow} = \begin{pmatrix} 1 \\ 0 \end{pmatrix}$ ,  $\chi_{\downarrow} = \begin{pmatrix} 0 \\ 1 \end{pmatrix}$

Allg. Spinzustand  $\rightarrow$  Spinor  $\chi = \begin{pmatrix} \alpha \\ \beta \end{pmatrix}$  mit  $\alpha, \beta \in \mathbb{C}$

mit Normierung  $|\alpha|^2 + |\beta|^2 = 1$

Alle Spinoperatoren lassen sich als 2x2 Matrizen darstellen

$$\rightarrow \hat{S}_z = \begin{pmatrix} \langle \uparrow | \hat{S}_z | \uparrow \rangle & \langle \uparrow | \hat{S}_z | \downarrow \rangle \\ \langle \downarrow | \hat{S}_z | \uparrow \rangle & \langle \downarrow | \hat{S}_z | \downarrow \rangle \end{pmatrix} = \frac{\hbar}{2} \begin{pmatrix} 1 & 0 \\ 0 & -1 \end{pmatrix} = \frac{\hbar}{2} \sigma_z$$

$$\hat{S}_x = \frac{1}{2} (\hat{S}_+ + \hat{S}_-) \quad \text{Leitvors.}$$

$$\hat{S}_\pm |S m_s\rangle = \hbar \sqrt{S(S+1) - m_s(m_s \pm 1)} |S, m_s \pm 1\rangle$$

$$\Rightarrow \hat{S}_x = \begin{pmatrix} \langle \uparrow | \frac{1}{2} (\hat{S}_+ + \hat{S}_-) | \uparrow \rangle & \langle \uparrow | \frac{1}{2} (\hat{S}_+ + \hat{S}_-) | \downarrow \rangle \\ \langle \downarrow | \frac{1}{2} (\hat{S}_+ + \hat{S}_-) | \uparrow \rangle & \langle \downarrow | \frac{1}{2} (\hat{S}_+ + \hat{S}_-) | \downarrow \rangle \end{pmatrix}$$

$$\hat{S}_x = \frac{\hbar}{2} \begin{pmatrix} 0 & 1 \\ 1 & 0 \end{pmatrix}, \quad \hat{S}_y = \frac{\hbar}{2} \begin{pmatrix} 0 & -i \\ i & 0 \end{pmatrix}$$

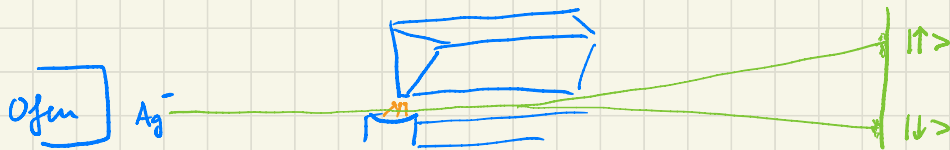
$\sigma_x$   $\sigma_y$

$$\Rightarrow \hat{S} = \frac{\hbar}{2} \vec{\sigma} \quad \vec{\sigma} = (\sigma_x, \sigma_y, \sigma_z)$$

Pauli Matrizen

Pauli Matrizen: hermitisch, spurlos

$\sigma_x, \sigma_y, \sigma_z, \mathbb{1}$  sind Basis aller Hermiteschen 2x2 Matrizen



$$\frac{1}{\sqrt{2}} (|\uparrow\rangle + |\downarrow\rangle)$$

50% Ws  $|\uparrow\rangle$

50% Ws  $|\downarrow\rangle$

